

Лекция 1

История ЭК

Идеальные пластины

Поправки к ЭК

Конечная проводимость

Температура

Шершавость

Эксперименты

Приложения

Лекция 2

Геометрия границ

Эксперименты

Приложения

(МЭМС, НЭМС)

Эффект Казимира: от квантовой теории поля к микро (нано) –механическим машинам

И. Г. Пироженко (ЛТФ ОИЯИ)

Энергия вакуума

- Энергия гармонического осциллятора

$$E_n = \hbar\omega \left(n + \frac{1}{2} \right) \quad \text{Планк, 1911}$$

- Квантованное поле как бесконечный набор гармонических осцилляторов

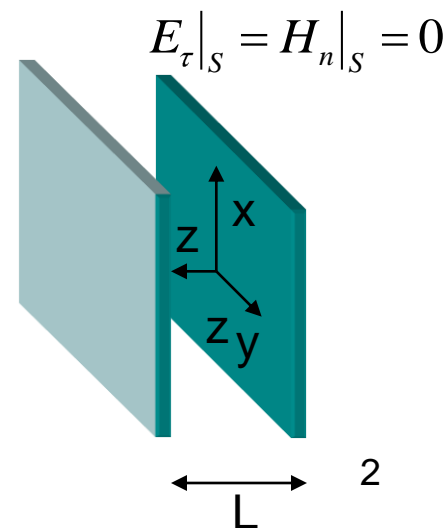
Плотность вакуумной энергии поля

$$u = \frac{1}{V} \sum_{\{n\}} \frac{1}{2} \hbar\omega_{\{n\}} = 2 \int \frac{d\mathbf{k}}{(2\pi)^3} \frac{1}{2} \hbar c |k| \quad \text{бесконечная величина!}$$

- Вакуумная энергия идеально проводящих пластин

H.B.G. Casimir, Proc. K. Ned. Acad. Wet. B51, 793 (1948)

$$\omega_{\{n\}} = c\sqrt{\mathbf{k}^2}, \quad \mathbf{k} = (k_x, k_y, k_z), \quad \mathbf{k}_{cavity} = \left(k_x, k_y, \frac{\pi n}{L} \right)$$



Часть вакуумной энергии, зависящая от расстояния между пластинами=энергия Казимира

$$U(L) = E(L) - E(\infty)$$

$$k_x = \sqrt{u} \cos \varphi, \quad k_y = \sqrt{u} \sin \varphi$$

$$E(d) = \hbar c \frac{a^2}{\pi^2} \int_0^\infty dk_x \int_0^\infty dk_y \left[\sum_{n=0}^\infty \sqrt{k_x^2 + k_y^2 + n^2 \pi^2 / L^2} \right] =$$

$$= \frac{\hbar c \pi^2}{8L^3} a^2 \left[\int_0^\infty du \sqrt{u} + 2 \sum_{n=1}^\infty \int_0^\infty du \sqrt{u + n^2} \right]$$

$$E(\infty) = \hbar c \frac{\pi^2}{2L^3} \frac{a^2}{\pi} \int_0^\infty dk_x \int_0^\infty dk_y \int_0^\infty dk_z \sqrt{k_x^2 + k_y^2 + k_z^2} = \frac{\hbar c \pi^2}{8L^3} a^2 \left[2 \int_0^\infty dn \int_0^\infty du \sqrt{n^2 + u} \right]$$

$$I(n) \equiv \int_0^\infty du \sqrt{n^2 + u} = \frac{1}{2} I(0) + \sum_{n=1}^\infty I(n) - \int_0^\infty dn I(n) = -\frac{B_2}{2!} I'(0) - \frac{B_4}{4!} I'''(0) + \dots$$

$$U(L) = -\frac{\hbar c \pi^2}{720 L^3} a^2$$

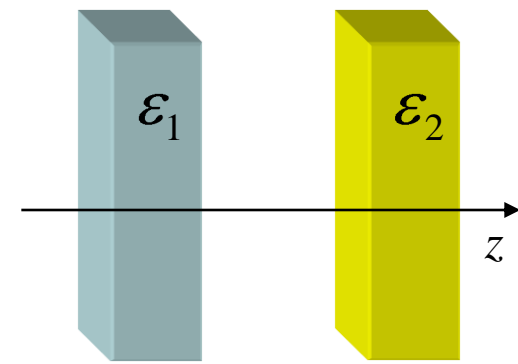
$$\frac{F}{a^2} = \frac{\pi^2 \hbar c}{240 L^4} \approx \frac{1.3 \cdot 10^{-27}}{L^4}$$

$$F \approx 10^{-3} \text{ N}, \quad L = 100 \text{ nm}$$

$$F \approx 10^5 \text{ N}, \quad L = 1 \text{ nm}$$

Теория Лифшица

Е. М. Лифшиц, ЖЭТФ 29, 94 (1956)



Учитывает

- Конечную температуру
- Конечную проводимость

$$F(L) = -\frac{k_B T}{\pi c^3} \sum_{n=0}^{\infty} \zeta_n^3 \int_1^{\infty} p^2 \left[f^{TE}(\zeta_n, p) + f^{TM}(\zeta_n, p) \right] dp$$

$$\zeta_n = 2\pi n k_B T / \hbar$$

$$f^\rho(\zeta_n, p) = \frac{r_1^\rho r_2^\rho e^{-2p\zeta_n L/c}}{1 - r_1^\rho r_2^\rho e^{-2p\zeta_n L/c}}, \quad \rho = TE, TM$$

Коэффициенты отражения пластин при мнимых частотах (!)

$$r_i^{TE}(i\zeta_n) = -\frac{\sqrt{\epsilon_i(i\zeta_n) - 1 + p^2} - p}{\sqrt{\epsilon_i(i\zeta_n) - 1 + p^2} + p}, \quad r_i^{TM}(i\zeta_n) = \frac{\sqrt{\epsilon_i(i\zeta_n) - 1 + p^2} - \epsilon_i(i\zeta_n)p}{\sqrt{\epsilon_i(i\zeta_n) - 1 + p^2} + \epsilon_i(i\zeta_n)p}$$

Температурные поправки

1. «Малые» расстояния $L \ll c\hbar/k_B T$

Главную роль в сумме играют члены с большими «n»

Воспользуемся формулой Эйлера-Маклорена

$$\sum_{n=0}^{\infty} f(n) = \int_0^{\infty} f(x) dx + \frac{1}{2} f(0) - \frac{1}{30 \cdot 4!} f'''(0) + \dots \quad f'(0) = 0, \quad f'''(0) = 2$$

$$F = -\frac{\pi^2 \hbar c}{240 L^4} \left[1 - \frac{16}{3} \left(\frac{L k_B T}{\hbar c} \right)^4 \right]$$

При $T=300\text{K}$, поправка малы если $L < 5 \cdot 10^{-6} \text{m}$

Вывод: при $T < 300\text{K}$ температурной зависимостью можно пренебречь на расстояниях доступных в современных экспериментах

Температурные поправки

2. «Большие» расстояния $L \gg c\hbar/k_B T$

Главную роль в сумме играют член с $n=0$

$$F = -\frac{k_B T}{16\pi L^3} \int_0^\infty x^2 \left[\frac{r_1 r_2 e^{-x}}{1 - r_1 r_2 e^{-x}} \right] dx, \quad x = 2pL\xi_0/c$$

Диэлектрики

$$n=0: \quad r_i^{TE} = 0, \quad r_i^{TM} = \frac{1 - \varepsilon_i(0)}{1 + \varepsilon_i(0)}.$$

$$F \approx -\frac{k_B T}{8\pi L^3} \frac{\varepsilon_1(0) - 1}{\varepsilon_1(0) + 1} \frac{\varepsilon_2(0) - 1}{\varepsilon_2(0) + 1}$$

Металлы

Правило Швингера: сначала $\varepsilon_i(0) = \infty$ потом $n=0$.

Schwinger J., DeRaad L.L., Milton K.A.
1978, Ann. Phys., NY 115, 1

$$F = -\frac{k_B T}{4\pi L^3} \zeta(3), \quad \zeta(3) \approx 1.202$$

Конечная проводимость, $T=0$

- Введем поправочный коэффициент, учитывающий конечную проводимость

$$\eta_F = F/F_C, \quad F_C = \frac{\pi^2 \hbar c}{240 L^4}$$

$$\eta_F = \frac{120}{\pi^4} \int_0^\infty dK K^2 \int_0^K d\Omega \sum_P \frac{r_1^P r_2^P}{e^{2K} - r_1^P r_2^P}, \quad K = \kappa L, \quad \Omega = \omega \frac{L}{c}.$$

$$r_i^{TE} = -\frac{\sqrt{\omega^2 (\varepsilon_i(i\omega) - 1) + c^2 \kappa^2} - c\kappa}{\sqrt{\omega^2 (\varepsilon_i(i\omega) - 1) + c^2 \kappa^2} + c\kappa}, \quad r_i^{TM} = \frac{\sqrt{\omega^2 (\varepsilon_i(i\omega) - 1) + c^2 \kappa^2} - c\kappa \varepsilon_i(i\omega)}{\sqrt{\omega^2 (\varepsilon_i(i\omega) - 1) + c^2 \kappa^2} + c\kappa \varepsilon_i(i\omega)}$$

- Свойства материала описываются через диэлектрическую проницаемость при мнимых частотах $\varepsilon(i\omega)$

При $\varepsilon_i = \infty \Rightarrow r_i = -1$

получается сила между двумя идеально проводящими пластинами

Диэлектрическая проницаемость при мнимых частотах

$$\varepsilon(\omega) = \varepsilon'(\omega) + i\varepsilon''(\omega) \quad \omega = \omega' + i\omega''$$

Аналитические свойства

$$\begin{aligned} \lim_{\omega \rightarrow 0} \varepsilon''(\omega) &= \infty && \text{для металлов} \\ \lim_{\omega \rightarrow 0} \varepsilon''(\omega) &= 0 && \text{для диэлектриков} \\ \lim_{\omega \rightarrow \infty} \varepsilon(\omega) &= 1 \end{aligned}$$

Ландау, Лифшиц, т. VII
«Электродинамика сплошных сред»

$$\begin{aligned} \varepsilon''(\omega) &> 0 && \text{при } \omega = \omega' > 0, \\ \varepsilon''(\omega) &< 0 && \text{при } \omega = \omega'' < 0. \end{aligned}$$

Соотношение причинности Крамерса-Кронига

$$\varepsilon'(\omega) = \frac{2}{\pi} P \int_0^{\infty} \frac{x \varepsilon''(x)}{x^2 - \omega^2} dx \quad \longrightarrow \quad \varepsilon''(i\omega) = \frac{2}{\pi} \int_0^{\infty} \frac{x \varepsilon''(x)}{x^2 + \omega^2} dx$$

Плазменная модель

$$\varepsilon(\omega) = 1 - \frac{\omega_p^2}{\omega^2} \longrightarrow \varepsilon(i\omega) = 1 + \frac{\omega_p^2}{\omega^2} \quad \omega_p^2 = \frac{4\pi N e^2}{m^*}$$

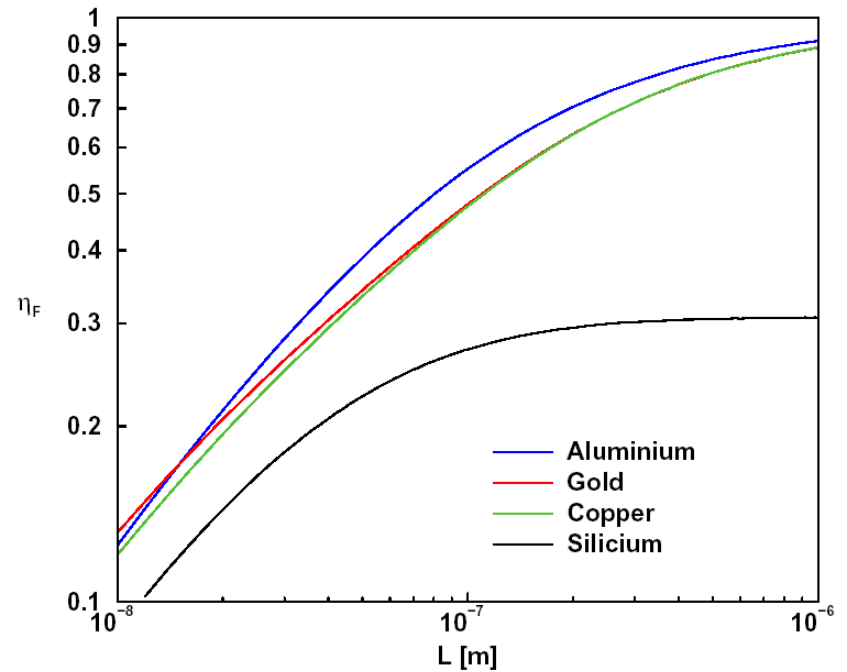
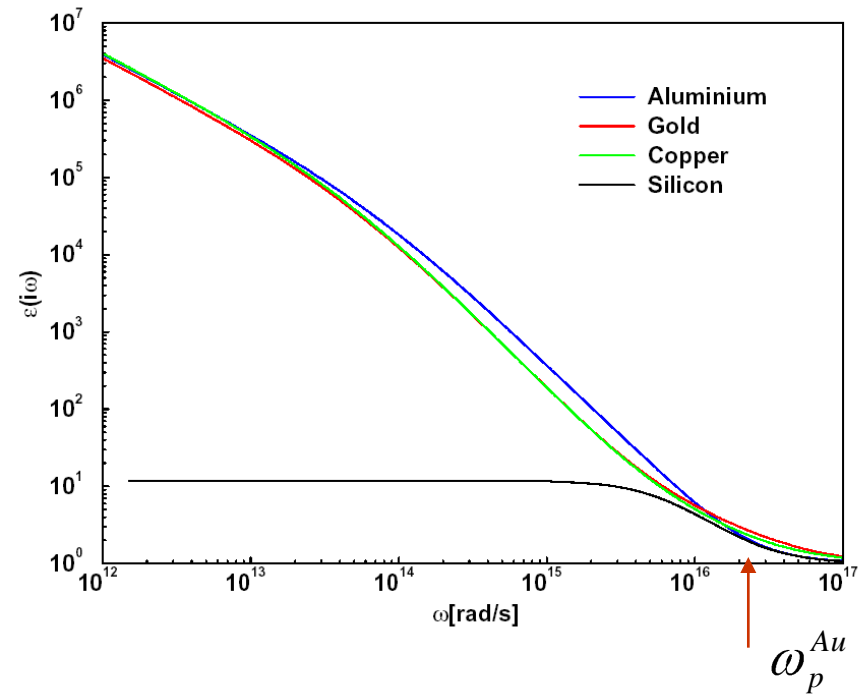
- Малые расстояния $L \ll \lambda_p = \frac{2\pi c}{\omega_p}$

$$F = -\frac{\hbar}{16 \cdot \pi^{3/2} L^3} \frac{\omega_p}{\sqrt{2}} G, \quad G = \sum_{n=1}^{\infty} \frac{\Gamma(2n-1/2)}{(2n-1)! n^3} \approx 0.984$$

- Большие расстояния $L \gg \lambda_p = \frac{2\pi c}{\omega_p}$

$$F = -\frac{\pi^2 \hbar c}{240 L^4} \left(1 - \frac{8 \lambda_p}{3\pi L} \right)$$

Сила Казимира для разных материалов



0.303

Пример: золото, модель Друде

$$\omega_p = 1.367 \cdot 10^{16} \text{ рад/с}$$

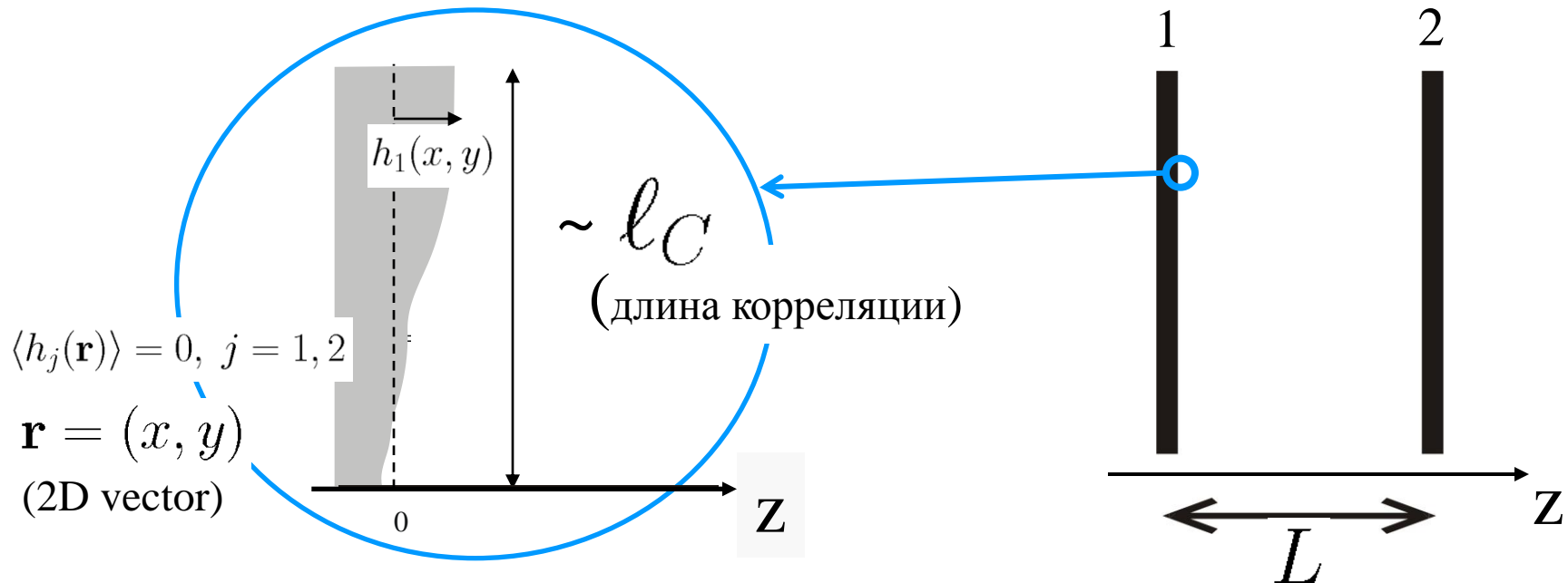
$$\omega_\tau = 5.316 \cdot 10^{13} \text{ рад/с}$$

$$\varepsilon_{Au}(\omega) = 1 - \frac{\omega_p^2}{\omega(\omega + i\omega_\tau)} \quad \omega_p^2 = \frac{4\pi N e^2}{m^*}$$

Учет шершавости поверхностей

$$L^2 \ll A, \ell_C^2 \ll A$$

P. Maia Neto, A. Lambrecht & S. Reynaud, PRA 72 (2005)



Шершавости (1) и (2) независимы

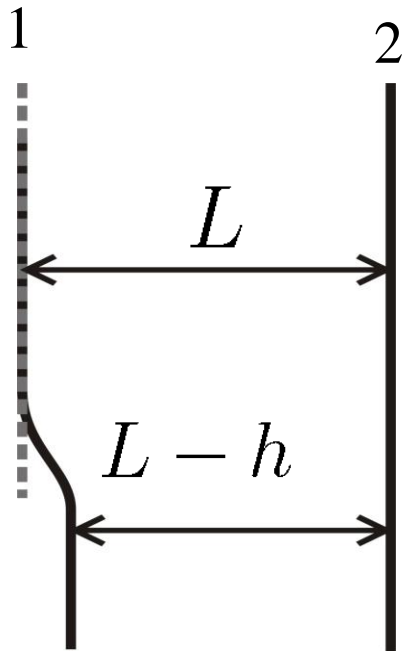
$$\langle h_1(\mathbf{r})h_2(\mathbf{r}') \rangle = 0$$

$$\langle h_j(\mathbf{r})h_j(\mathbf{r}') \rangle = \langle h_j(\mathbf{r} - \mathbf{r}')h_j(\mathbf{0}) \rangle$$

Трансляционная инвариантность
вдоль поверхности зеркала

$$L \ll \ell_c$$

На рассматриваемом расстоянии поверхность выглядит практически плоской



$$E_{PP}^{\text{corr}} = \frac{1}{A} \int d^2 \mathbf{r} E_{PP}(L - h(\mathbf{r}))$$

Среднее по профилю поверхности значение энергии

Расчет по теории возмущений

$$E_{PP}^{\text{corr}} = E_{PP} + \delta E_{PP}$$

$$\delta E_{PP} = \frac{E_{PP}''(L)}{2} \langle h_1^2 + h_2^2 \rangle$$

«Касательная сила Казимира»

$$\mathbf{F}_{Lat} = -\nabla_{Lat} E_C$$

$$h(x, y) = A \sin \frac{2\pi z}{L}$$

Корреляция поправок

- Поправки, связанные с дисперсией диэлектрической проницаемости, существенны на расстояниях

$$L < \lambda_p, \quad \lambda_p^{Au} = 1.07 \cdot 10^{-7} \text{ м}$$

- Поправки, связанные с шершавостью поверхности проявляются на расстояниях $L < h$. Зависят от подготовки поверхностей.
- Поправки, связанные с ненулевой температурой, проявляются на расстояниях

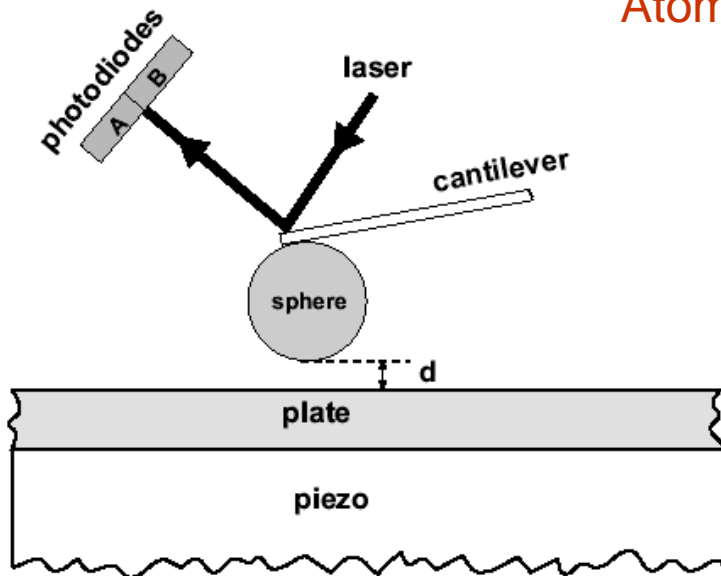
$$L > \frac{c\hbar}{k_B T} = \frac{2.29 \cdot 10^{-3}}{T} \quad \text{Если } T = 300, \quad L > 10^{-5} \text{ м.}$$

Вывод: с хорошей точностью поправки к эффекту Казимира можно учитывать независимо друг от друга

Эксперименты

- M. J. Sparnaay, 1958, параллельные пластины , 100% погрешность
- P. van Blokland and J. Overbeck, 1971-78
- И.Б. Дерягин , 1934-56, впервые предложил использовать сферические тела, чтобы преодолеть проблему параллелизма

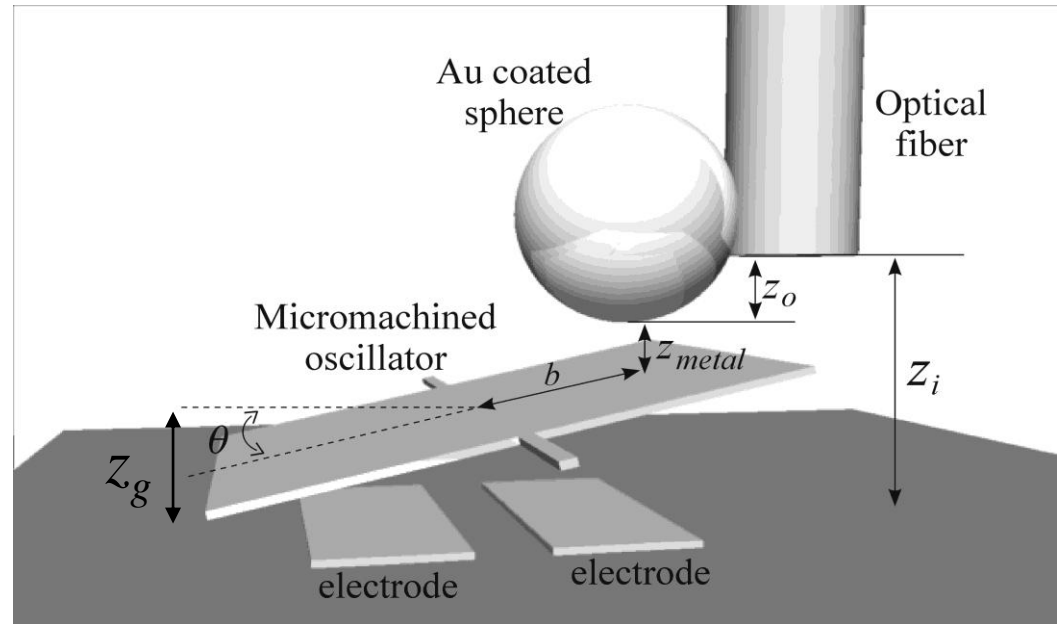
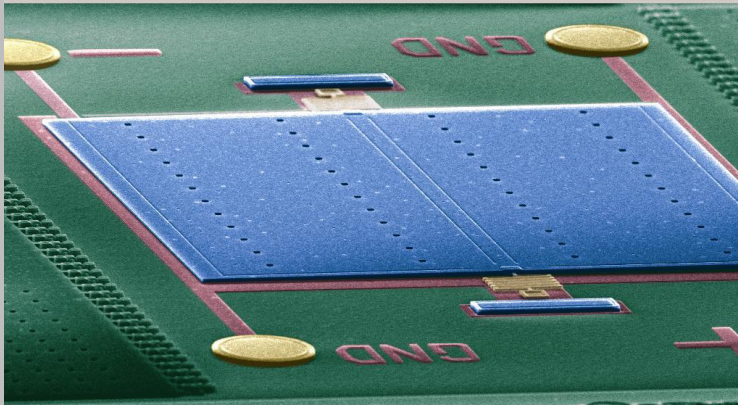
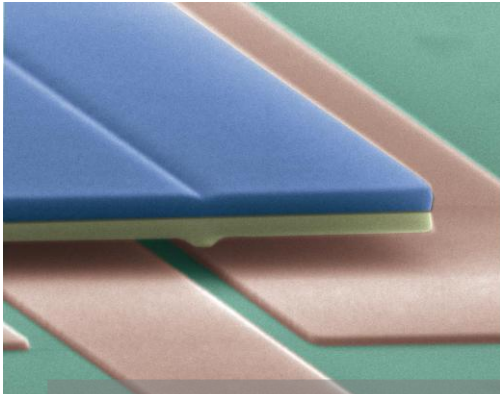
Atomic force microscope



Измерения:

- статические
- динамические

Микроэлектронный крутильный маятник



The pictures are taken from the slide presentation by R.S.Decca on QFEXT'05, Barcelona, September 2005

The thickness of the polysilicon plate is $3.5 \mu\text{m}$
 $500 \times 500 \mu\text{m}^2$

Современные эксперименты

Эксперимент	Установка и геометрия	Расстояние	Погрешность
S.K.Lamoreaux, Phys.Rev.Lett.78,5(1997); 81,5475(E) (1998)	Torsion pendulum, sphere-plate	0.6-6 μm	2-3%(95% conf. level)
U.Mohideen, A.Roy, Phys.Rev.Lett. 81,4549 (1998)	Atomic force microscope, sphere-plate	0.1 μm 0.9 μm	1% (68% conf. level) 100%
R.S.Decca et al., Phys.Rev.D68:116003, 2003	Microelectronical machine sphere-plate plate-plate	0.5-3.0 μm 0.5-3.0 μm	2-3%(95% conf. level) 15%
G. Bressi, G. Carugno, R. Onofrio, G.Ruoso, Phys.Rev.Lett. 88, 041804-1 (2001)	Silicon cantilever plate-plate	0.5-3.0 μm	15%
G.Bimonte,E.Calloni, G.Esposito,L.Rosa, Nucl.Phys.B726:441- 463,2005	Superconducting transition, the Casimir energy affects the value of critical magnetic field		

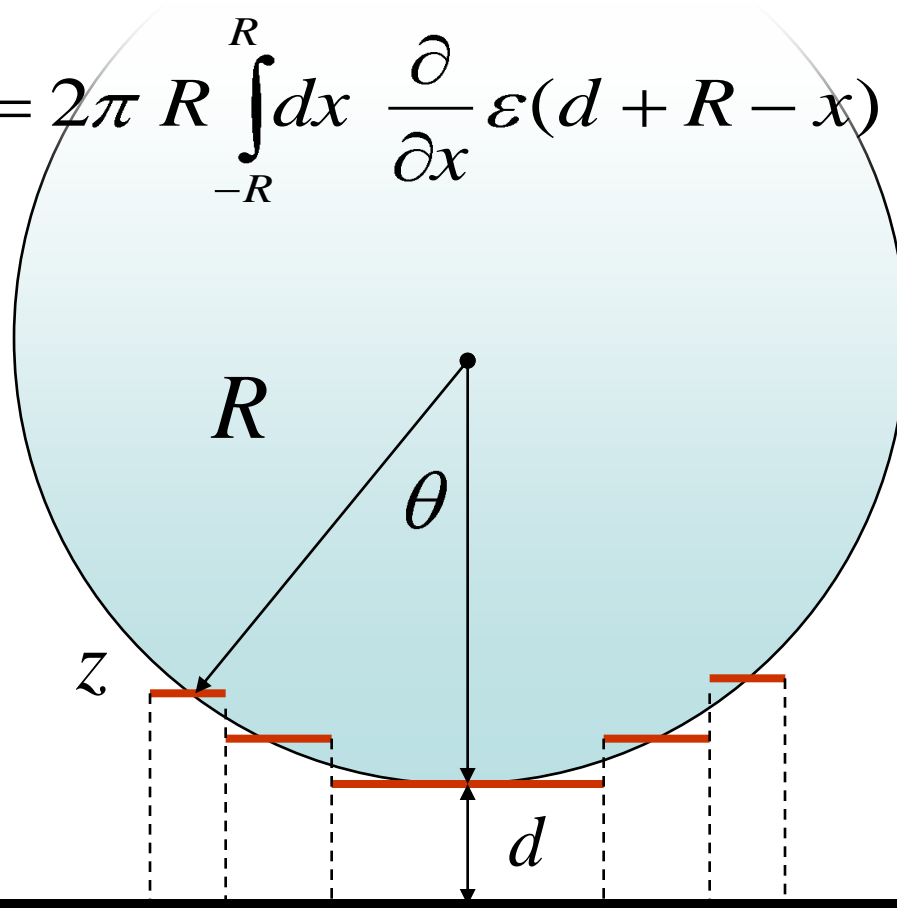
Приближение «близкой силы» (Дерягин Б.В, 1934)

Proximity force approximation (PFA)

$$E(d) = \int dS_z \varepsilon(z), \quad z = d + R(1 - \cos \theta), \quad dS_z = 2\pi R^2 \sin \theta d\theta.$$

$$F = -\frac{\partial E}{\partial d} = 2\pi R \int_{-R}^R dx \frac{\partial}{\partial x} \varepsilon(d + R - x) \approx 2\pi R \varepsilon(d)$$

$$0 < \theta < \pi$$



$$\varepsilon = -\frac{\pi^2 \hbar c}{720 d^3}$$

$$d \ll R !$$

Что заставляет нас изучать эффект Казимира?

Ограничения на гипотетические силы, предсказываемые в суперсимметричных теориях, супергравитации, теории струн

Гравитационные эксперименты $10^{-2} m < \lambda < 10^6 km$

Юкавские поправки к ньютонову потенциалу

$$V(r) = -\frac{Gm_1m_2}{r} \left(+ \alpha e^{-r/\lambda} \right)$$

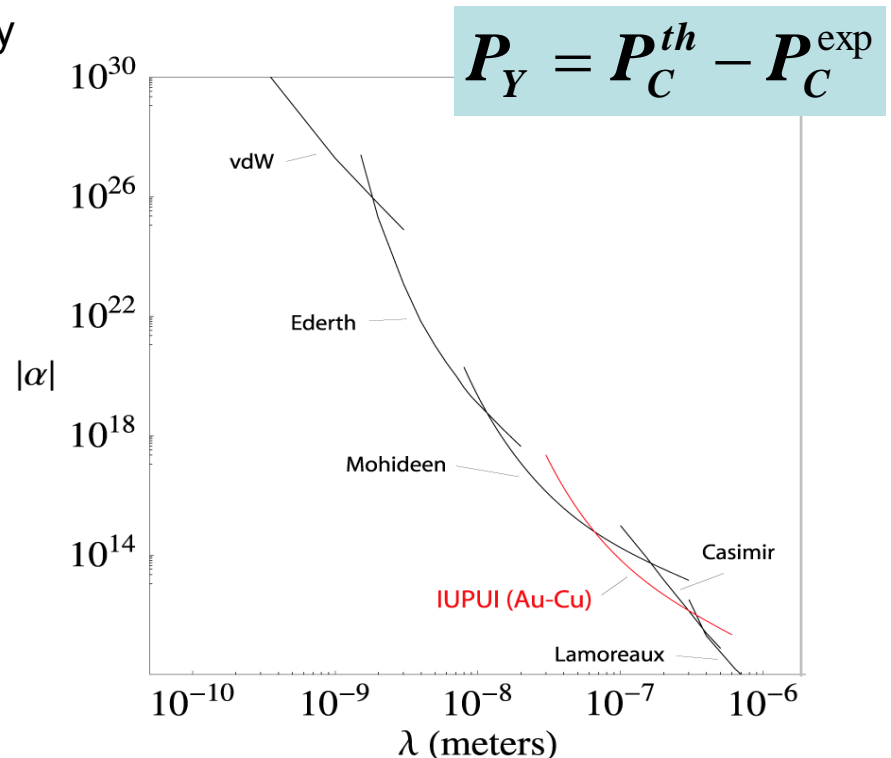
$$r \gg R_n \sim \frac{1}{M_{Pl}^{(4+n)}} \left(\frac{M_{Pl}}{M_{Pl}^{(4+n)}} \right)^{2/n} \sim 10^{\frac{32}{n}-17} cm,$$

$$M_{Pl}^{(4+n)} = 1/G_{4+n}^{1/(2+n)}$$

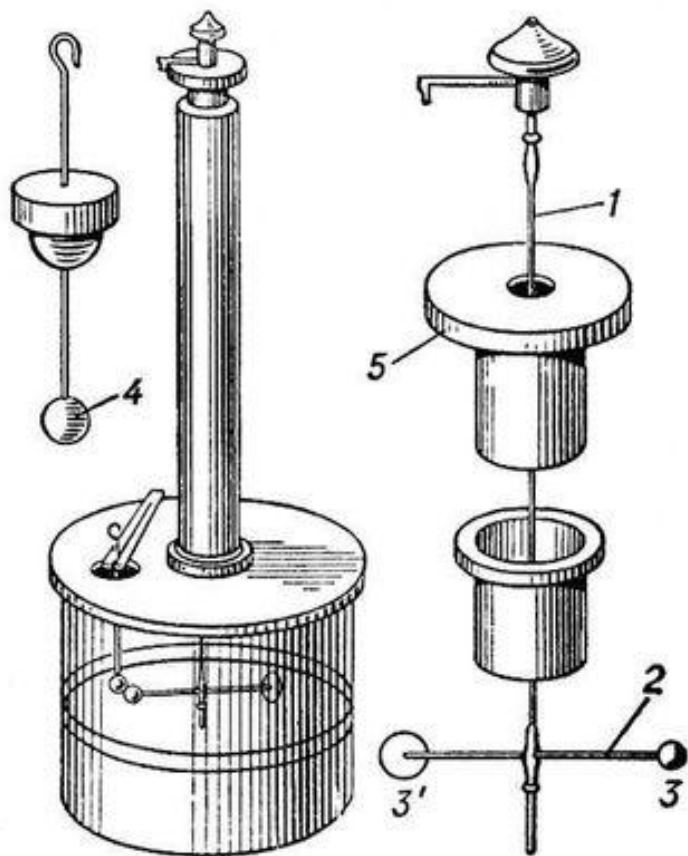
$$n = 1, \quad R_1 \sim 10^{15} cm$$

$$n = 2, \quad R_2 \sim 1mm$$

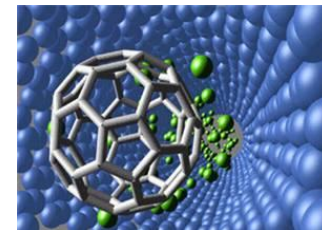
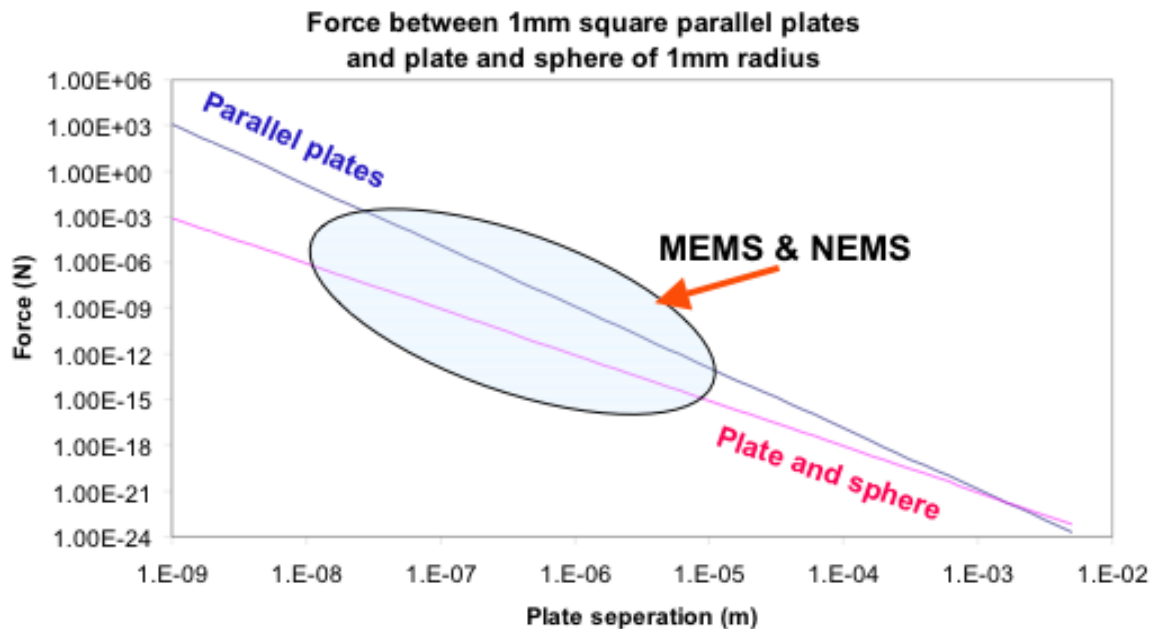
$$n = 3, \quad R_3 \sim 5nm$$



Крутильные весы – прибор для измерения гравитационного притяжения и силы Казимира



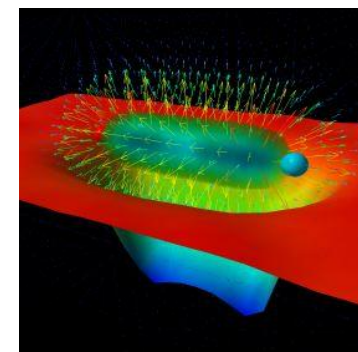
- Важная роль сил Казимира в наноразмерных системах



Web page of Rutherford Appleton Lab., B. J. Kent

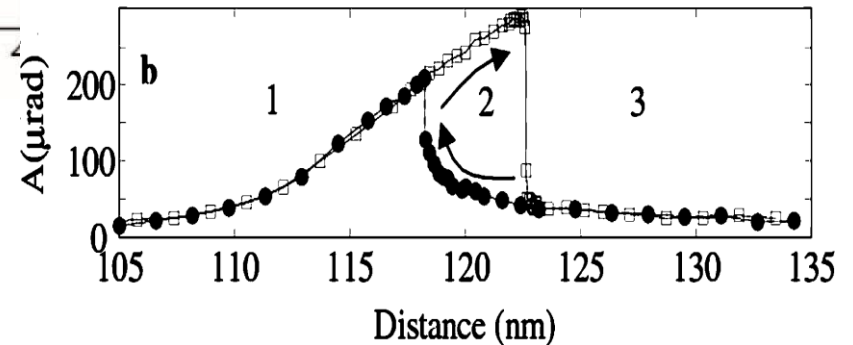
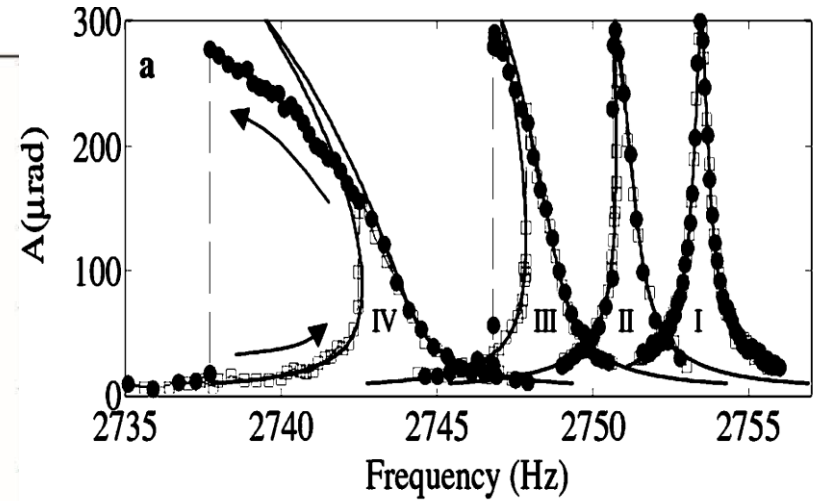
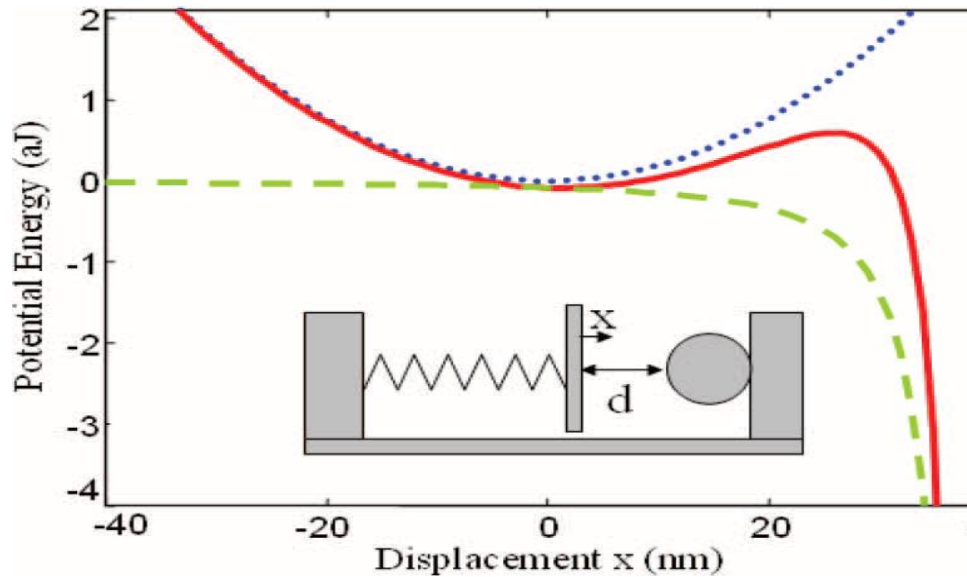
- КХД на решетке

A.R Kitson and A.I. Signal, J. Phys. A: Math and Gen. 39 (2006), 6473-6479



Наномашины: нелинейный казимировский осциллятор

из D. Iannuzzi et al, *IEEE J. Sel. Top. Quant. Electronics* 13 400 (2007)



$$U = \frac{kx^2}{2}$$

$$\varepsilon = -\frac{\pi^2 \hbar c}{720x^3}$$

КЭД эффект вызывает бистабильность и гистерезис

Учет геометрии границы

- Компактные объекты с известным спектром



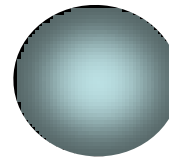
С.Г. Мамаев, Н.Н. Трунов, 1979

$$E_{EM} = 0.0916 \frac{\hbar c}{a},$$

$$E_{EM} = 0.004687 \frac{\hbar c}{R}, \quad E_D = 0.0044 \frac{\hbar c}{R},$$

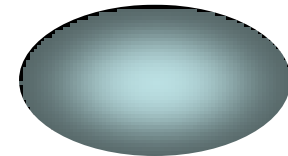
$$E_{EM} = -0.01356 \frac{\hbar c}{R^2}, \quad E_D = 0.00615 \frac{\hbar c}{R^2}$$

$$E_D = \frac{1}{2b} \left(0.00563 + 0.00188e^2 + O(e^4) \right), \quad e^2 = 1 - \frac{a^2}{b^2}$$



T. Boyer, 1968

P. Godzinsky, A. Romeo, 1998



A. R. Kitson, 2006

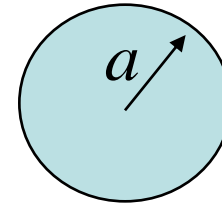
Пример: вычисление энергии Казимира для идеально проводящей сферы

Уравнения на собственные частоты:

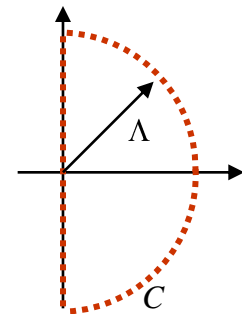
$$E(s) = \frac{\hbar}{2} \sum_{l=1}^{\infty} \sum_{m=-l}^l \sum_{n=1}^{\infty} \left[\omega_{nl} - \omega_{nl}(a \rightarrow \infty) \right] \rightarrow \hbar \sum_{l=1}^{\infty} (l+1/2)^{-s} \sum_{n=1}^{\infty} \left[\omega_{nl} - \omega_{nl}(a \rightarrow \infty) \right]$$

$$TE \quad j_l(\omega a) = 0, \quad h_l^{(1)}(\omega a) = 0$$

$$TM \quad \left. \frac{d}{dr} j_l(\omega r) \right|_{r=a} = 0, \quad \left. \frac{d}{dr} h_l^{(1)}(\omega r) \right|_{r=a} = 0,$$



По теореме Коши
$$\sum_{n=1}^N \omega_{nl}^{(\alpha)} = \frac{1}{2\pi i} \oint_{C_\Lambda} dz z^{-s} \frac{d}{dz} \ln f^{(\alpha)}(z, a)$$



$$E_{reg} = \frac{\hbar c}{\pi a} \sum_{l=1}^{\infty} (l+1/2)^{-s} \int_0^{\infty} dy \ln \left[- \frac{J_l'(y)}{J_l(y)} \right] \quad \sigma_l \Rightarrow y I_{l+1/2}(y) K_{l+1/2}(y)$$

Равномерное асимптотическое разложение функций Бесселя

$$I_\nu(\nu z) \approx \frac{1}{\sqrt{2\pi\nu}} \frac{e^{\nu\eta}}{(1+z^2)^{1/4}} \left\{ 1 + \sum_{k=1}^{\infty} \frac{u_k(t)}{\nu^k} \right\}$$

$$K_\nu(\nu z) \approx \sqrt{\frac{\pi}{2\nu}} \frac{e^{-\nu\eta}}{(1+z^2)^{1/4}} \left\{ 1 + \sum_{k=1}^{\infty} \frac{v_k(t)}{\nu^k} \right\}$$

$$u_0(t) = 1, \quad u_1(t) = \frac{3t - 5t^3}{24}, \quad u_2(t) = \frac{81t^2 - 462t^4 + 385t^6}{1152}$$

$$t = \frac{1}{\sqrt{1+z^2}}, \quad \eta = \sqrt{1+z^2} + \ln \frac{z}{1+\sqrt{1+z^2}}$$

$$I_\nu(\nu z) K_\nu(\nu z) \Big|_{l \rightarrow \infty} \approx \frac{1}{2\nu} \frac{1}{(1+z^2)^{1/2}}$$

$$Q_l = \frac{1}{\pi} (l+1/2)^{-s} \int_0^\infty dy \ln \left[1 - \frac{1}{4\nu^2 (1+z^2)^3} \right],$$

$$\approx -\frac{\nu^{-s-1}}{4\pi} \int_0^\infty \frac{dz}{(1+z^2)^3} = -\frac{3}{64} \nu^{-s-1}, \quad l \rightarrow \infty$$

Вычитание

$$E_{reg} = \frac{\hbar c}{a} \sum_{l=1}^{\infty} \left[Q_l + \frac{3}{64} \nu^{-s-1} - \frac{3}{64} \nu^{-s-1} \right] = \frac{\hbar c}{a} \sum_{l=1}^{\infty} \bar{Q}_l - \frac{3}{64} \sum_{l=1}^{\infty} \nu^{-s-1}$$

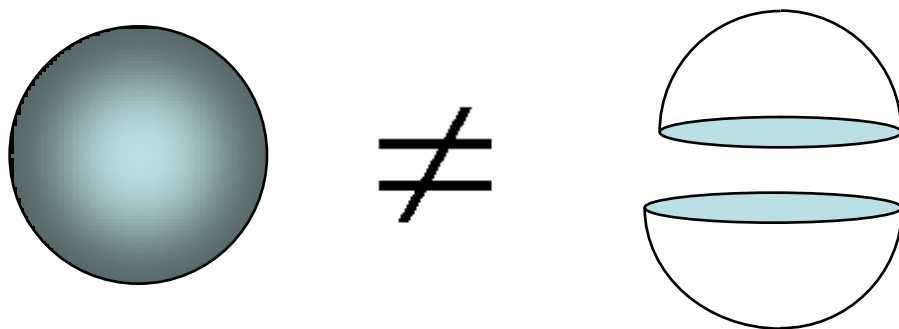
$$- \frac{3}{64a} \sum_{l=1}^{\infty} (l + 1/2)^{-s-1} \equiv - \frac{3}{64a} \left[(s + 1, 1/2) - 1 \right]$$

Для снятия регуляризации надо положить $s=-1$, тогда $\zeta(0, 1/2) = 0$

$$E = \frac{\hbar c}{a} \sum_{l=1}^{\infty} \bar{Q}_l + \frac{3}{64} \frac{\hbar c}{a} \approx \left[-0.00054... + \frac{3}{64} \right] \frac{\hbar c}{a}$$

Вывод: вакуумная энергия идеально проводящей сферы положительна, что соответствует раздуванию сферы

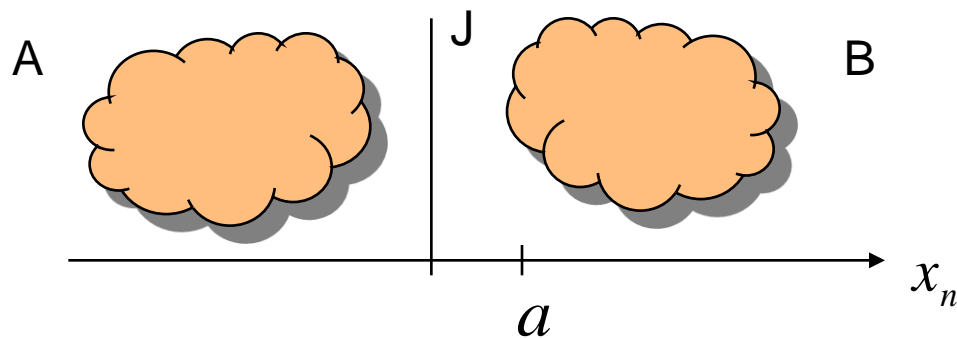
От одиночных компактных объектов к взаимодействию тел



Противоположности притягиваются

Теорема Клиха (I.Klich, PRL, 2006):

Сила между двумя телами, являющимися зеркальными отражениями друг друга, есть сила притяжения



$$J: A \rightarrow B$$

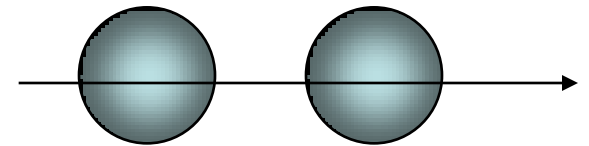
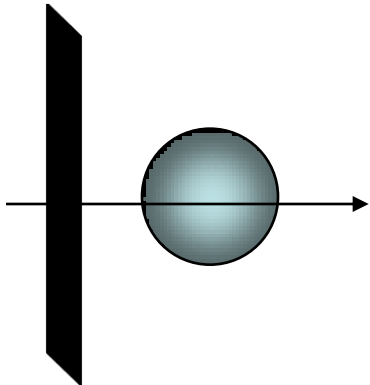
$$J(\mathbf{x}, x_n) = (\mathbf{x}, a - x_n)$$

Вычисление энергии Казимира как задача рассеяния

$$E_C = \frac{1}{2} \int_0^{\infty} dE E \delta\rho_C(E)$$

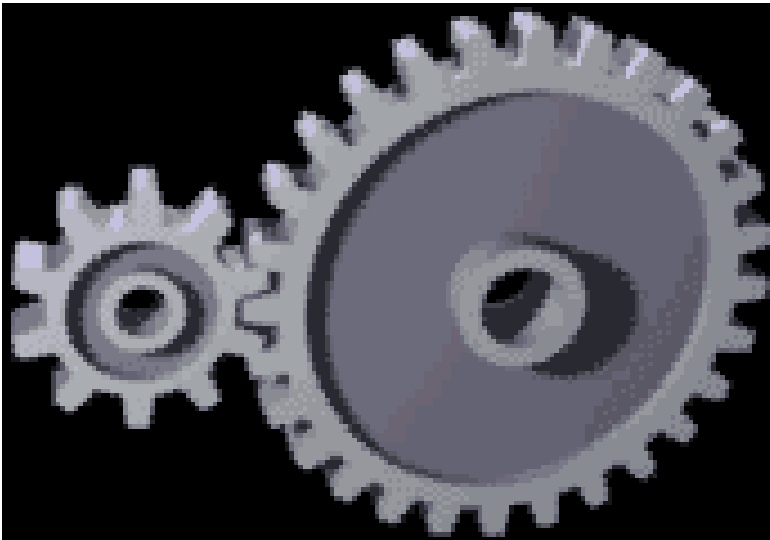
• Формула Крейна для фазового сдвига

$$\delta\rho(E) = \rho(E) - \rho_0(E) = \frac{1}{2\pi i} \frac{d}{dE} \ln \det S_n(E, \{a_{ij}\}, \{r_{ij}\})$$



Предел малых расстояний = PFA+поправки

Зубчатая передача



http://en.wikipedia.org/wiki/Spur_gear

Реечная передача

